

固定波束

一个固定波束系统就是一个空间滤波器，它可以目标信号的方向形成一个主波束。并且，一可以将一些没有有效信息的干扰信号方向置0。它不会使用从阵列采集的数据或者目标/噪声信号的统计信息。其结果就是滤波器的参数是固定的，阵列的表现不依赖于外部环境的变换。然而，固定波束会通过导向矢量的形式，使用传感器的位置信息，目标方向和干扰方向的信息。因此，需要知道阵列的几何形式。本章主要研究均匀线阵(ULAs)。

信号模型和问题形式

我们考虑一个远场平面波，它距离阵列足够远，在消声环境中传播，声速为 $c(c = 340 \text{ m/s})$ ，在一个由 M 个全指向麦克风构成的均匀线阵上实验。两个相邻的麦克风距离都是 δ 目标方向是与水平夹角 θ 。给定导向矢量：

$$\mathbf{d}(f, \cos \theta) = \begin{bmatrix} 1 & e^{-j2\pi f \tau_0 \cos \theta} & \dots & e^{-j(M-1)2\pi f \tau_0 \cos \theta} \end{bmatrix}^T, \quad (7.1)$$

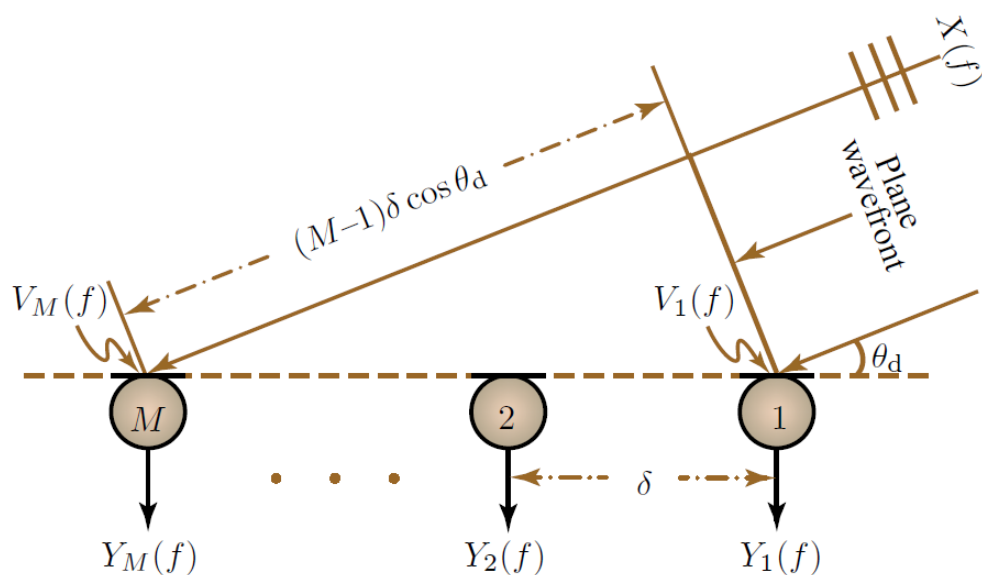


Figure 7.1 A uniform linear array with M sensors.

其中 j 是虚数单位， f 是采样频率， τ 是两个相邻麦克风在方向角为 0 的时候的延迟。我们定义 $\omega = 2\pi f$ 是角频率。因为 $\cos \theta$ 是偶函数，所以 $d(f, \cos \theta)$ 也是偶函数。因此，这就把角度限定在了 $\theta \in [0, \pi]$ 。

假定目标信号来自方向角 θ_d ，我们可以得到它的信号矢量，观测到的信号矢量（长度为 M ）：

$$\begin{aligned} \mathbf{y}(f) &= [Y_1(f) \ Y_2(f) \ \cdots \ Y_M(f)]^T \\ &= \mathbf{x}(f) + \mathbf{v}(f) \\ &= \mathbf{d}(f, \cos \theta_d) X(f) + \mathbf{v}(f), \end{aligned} \quad (7.2)$$

其中 $Y_m(f)$ 是第 m 个麦克风接收的信号， $x(f) = d(f, \cos \theta)X(f)$ ， $X(f)$ 是目标信号， $d(f, \cos \theta_d)$ 是指向为 θ_d 的导向矢量（指向目标源）， $\mathbf{v}(f)$ 是加性噪声矢量。这样来定义 $\mathbf{y}(f)$ 。接下来 $\mathbf{y}(f)$ 的自相关矩阵：

$$\begin{aligned} \Phi_{\mathbf{y}}(f) &= E[\mathbf{y}(f)\mathbf{y}^H(f)] \\ &= \phi_X(f)\mathbf{d}(f, \cos \theta_d)\mathbf{d}^H(f, \cos \theta_d) + \Phi_{\mathbf{v}}(f), \end{aligned} \quad (7.3)$$

$\phi_X(f)$ 是关于 $X(f)$ 的变量， $\phi_v(f)$ 是 $\mathbf{v}(f)$ 的自相关矩阵。

我们这一章的目标就是设计一个不依赖于统计信号的波束，可以在目标方向角 θ_d 形成一个主波束，不失真的提取目标信号，并且抑制其他方向的信号。

线阵模型

通常，阵列处理或波束是通过在每个麦克风上加一个延迟滤波器，并将滤波后的信号相加。在频域，这等价于给每个麦克风的输出，加一个复值权重，最后求和：

$$\begin{aligned} Z(f) &= \sum_{m=1}^M H_m^*(f)Y_m(f) \\ &= \mathbf{h}^H(f)\mathbf{y}(f) \\ &= X_{fd}(f) + V_{rn}(f), \end{aligned} \quad (7.4)$$

其中 $Z(f)$ 是波束的输出信号，

$$\mathbf{h}(f) = [H_1(f) \ H_2(f) \ \cdots \ H_M(f)]^T \quad (7.5)$$

是波束的权重向量，即在频率 f 上的空域滤波器，

$$X_{fd}(f) = X(f)\mathbf{h}^H(f)\mathbf{d}(f, \cos \theta_d) \quad (7.6)$$

是滤波器的目标信号

$$V_{\text{rn}}(f) = \mathbf{h}^H(f) \mathbf{v}(f) \quad (7.7)$$

是残余噪声。

由于 (7.4) 的右边两项是不相关的，因此有：

$$\begin{aligned} \phi_Z(f) &= \mathbf{h}^H(f) \Phi_{\mathbf{y}}(f) \mathbf{h}(f) \\ &= \phi_{X_{\text{fd}}}(f) + \phi_{V_{\text{rn}}}(f), \end{aligned} \quad (7.8)$$

其中

$$\phi_{X_{\text{fd}}}(f) = \phi_X(f) \left| \mathbf{h}^H(f) \mathbf{d}(f, \cos \theta_d) \right|^2, \quad (7.9)$$

$$\phi_{V_{\text{rn}}}(f) = \mathbf{h}^H(f) \Phi_{\mathbf{v}}(f) \mathbf{h}(f). \quad (7.10)$$

在本文的固定波束中，我们希望获得一个不失真的约束：

$$\mathbf{h}^H(f) \mathbf{d}(f, \cos \theta_d) = 1, \quad (7.11)$$

这意味着，任何来自目标方向的信号是不失真的。因此，所有的波束都会将 (7.11) 作为约束。

表现评估

在固定波束中，我们通常只关注窄带信号的评估表现，我们将第一个麦克风的信号作为参考信号。

每个波束都有一个对于方向的灵敏度模式：它可以表示对来自不同方向的声音的灵敏度。波束模式或者方向模式描述了波束对于从角度 θ 入射的平面波，作用在阵列上时的灵敏度。形式化的，它定义为：

$$\begin{aligned} \mathcal{B}[\mathbf{h}(f), \cos \theta] &= \mathbf{d}^H(f, \cos \theta) \mathbf{h}(f) \\ &= \sum_{m=1}^M H_m(f) e^{j(m-1)2\pi f \tau_0 \cos \theta}. \end{aligned} \quad (7.12)$$

通常， $|\mathcal{B}[\mathbf{h}(f), \cos \theta]|^2$ 是功率模式，使用极坐标系绘图。

窄带输入 SNR 是：

$$\text{iSNR}(f) = \frac{\phi_X(f)}{\phi_{V_1}(f)}, \quad (7.13)$$

其中 $\phi_{V_1}(f) = E[|V_1(f)|^2]$ 是关于 $V_1(f)$ 的变量，他是 $\mathbf{v}(f)$ 的第一个元素。窄带输出 SNR 定义：

$$\begin{aligned}\text{oSNR}[\mathbf{h}(f)] &= \phi_X(f) \frac{|\mathbf{h}^H(f) \mathbf{d}(f, \cos \theta_d)|^2}{\mathbf{h}^H(f) \mathbf{\Phi}_v(f) \mathbf{h}(f)} \\ &= \frac{\phi_X(f)}{\phi_{V_1}(f)} \times \frac{|\mathbf{h}^H(f) \mathbf{d}(f, \cos \theta_d)|^2}{\mathbf{h}^H(f) \mathbf{\Gamma}_v(f) \mathbf{h}(f)},\end{aligned}\quad (7.14)$$

其中

$$\mathbf{\Gamma}_v(f) = \frac{\mathbf{\Phi}_v(f)}{\phi_{V_1}(f)} \quad (7.15)$$

是 $v(f)$ 的互功率谱矩阵。根据之前SNR的定义，我们可以化简得到阵列的增益：

$$\begin{aligned}\mathcal{G}[\mathbf{h}(f)] &= \frac{\text{oSNR}[\mathbf{h}(f)]}{\text{iSNR}(f)} \\ &= \frac{|\mathbf{h}^H(f) \mathbf{d}(f, \cos \theta_d)|^2}{\mathbf{h}^H(f) \mathbf{\Gamma}_v(f) \mathbf{h}(f)}.\end{aligned}\quad (7.16)$$

窄带白噪声增益（WNG），是一种最方便的评估阵列缺陷的方案，根据定义（7.16）中的 $\mathbf{\Gamma}_v(f) = \mathbf{I}_M$ ，其中 \mathbf{I}_M 是单位阵：

$$\mathcal{W}[\mathbf{h}(f)] = \frac{|\mathbf{h}^H(f) \mathbf{d}(f, \cos \theta_d)|^2}{\mathbf{h}^H(f) \mathbf{h}(f)}.\quad (7.17)$$

使用Cauchy-Schwartz不等式：

$$|\mathbf{h}^H(f) \mathbf{d}(f, \cos \theta_d)|^2 \leq \mathbf{h}^H(f) \mathbf{h}(f) \times \mathbf{d}^H(f, \cos \theta_d) \mathbf{d}(f, \cos \theta_d), \quad (7.18)$$

容易化简得：

$$\mathcal{W}[\mathbf{h}(f)] \leq M, \quad \forall \mathbf{h}(f). \quad (7.19)$$

所以，最大WNG是：

$$\mathcal{W}_{\max} = M, \quad (7.20)$$

他是与频率无关的。令

$$\cos[\mathbf{d}(f, \cos \theta_d), \mathbf{h}(f)] = \frac{\mathbf{d}^H(f, \cos \theta_d) \mathbf{h}(f) + \mathbf{h}^H(f) \mathbf{d}(f, \cos \theta_d)}{2 \|\mathbf{d}(f, \cos \theta_d)\|_2 \|\mathbf{h}(f)\|_2} \quad (7.21)$$

是2个向量 $\mathbf{d}(f, \cos \theta)$ 和 $\mathbf{h}(f)$ 之间夹角的余弦值，其中 $\|\cdot\|^2$ 是 $\mathbf{h}(f)$ 范数。假设不失真约束，我们可以改写WNG为：

$$\mathcal{W}[\mathbf{h}(f)] = \mathcal{W}_{\max} \cos^2[\mathbf{d}(f, \cos \theta_d), \mathbf{h}(f)]. \quad (7.22)$$

另一个重要的指标是麦克风阵列在混响环境下的表现，即窄带指向因子DF，定义为：

$$\begin{aligned}\mathcal{D}[\mathbf{h}(f)] &= \frac{|\mathcal{B}[\mathbf{h}(f), \cos \theta_d]|^2}{\frac{1}{2} \int_0^\pi |\mathcal{B}[\mathbf{h}(f), \cos \theta]|^2 \sin \theta d\theta} \\ &= \frac{|\mathbf{h}^H(f) \mathbf{d}(f, \cos \theta_d)|^2}{\mathbf{h}^H(f) \mathbf{\Gamma}_{0,\pi}(f) \mathbf{h}(f)},\end{aligned}\quad (7.23)$$

其中

$$\mathbf{\Gamma}_{0,\pi}(f) = \frac{1}{2} \int_0^\pi \mathbf{d}(f, \cos \theta) \mathbf{d}^H(f, \cos \theta) \sin \theta d\theta. \quad (7.24)$$

我们可以证明，矩阵 $\mathbf{\Gamma}_{0,\pi}(f)$ 是：

$$\begin{aligned}[\mathbf{\Gamma}_{0,\pi}(f)]_{ij} &= \frac{\sin[2\pi f(j-i)\tau_0]}{2\pi f(j-i)\tau_0} \\ &= \text{sinc}[2\pi f(j-i)\tau_0],\end{aligned}\quad (7.25)$$

其中 $|\mathbf{\Gamma}_{0,\pi}(f)|_{mm} = 1, m = 1, 2, \dots, M$ 。通过Cauchy-Schwartz不等式

$$\begin{aligned}|\mathbf{h}^H(f) \mathbf{d}(f, \cos \theta_d)|^2 &\leq \mathbf{h}^H(f) \mathbf{\Gamma}_{0,\pi}(f) \mathbf{h}(f) \times \\ &\quad \mathbf{d}^H(f, \cos \theta_d) \mathbf{\Gamma}_{0,\pi}^{-1}(f) \mathbf{d}(f, \cos \theta_d),\end{aligned}\quad (7.26)$$

可以根据（7.23）发现：

$$\mathcal{D}[\mathbf{h}(f)] \leq \mathbf{d}^H(f, \cos \theta_d) \mathbf{\Gamma}_{0,\pi}^{-1}(f) \mathbf{d}(f, \cos \theta_d), \quad \forall \mathbf{h}(f). \quad (7.27)$$

最终，最大指向因子DF就是：

$$\begin{aligned}\mathcal{D}_{\max}(f, \cos \theta_d) &= \mathbf{d}^H(f, \cos \theta_d) \mathbf{\Gamma}_{0,\pi}^{-1}(f) \mathbf{d}(f, \cos \theta_d) \\ &= \text{tr} [\mathbf{\Gamma}_{0,\pi}^{-1}(f) \mathbf{d}(f, \cos \theta_d) \mathbf{d}^H(f, \cos \theta_d)] \\ &\leq M \text{tr} [\mathbf{\Gamma}_{0,\pi}^{-1}(f)],\end{aligned}\quad (7.28)$$

他是关于频率和目标信号夹角的。令

$$\begin{aligned}\cos \left[\mathbf{\Gamma}_{0,\pi}^{-1/2}(f) \mathbf{d}(f, \cos \theta_d), \mathbf{\Gamma}_{0,\pi}^{1/2}(f) \mathbf{h}(f) \right] &= \\ \frac{\mathbf{d}^H(f, \cos \theta_d) \mathbf{h}(f) + \mathbf{h}^H(f) \mathbf{d}(f, \cos \theta_d)}{2 \left\| \mathbf{\Gamma}_{0,\pi}^{-1/2}(f) \mathbf{d}(f, \cos \theta_d) \right\|_2 \left\| \mathbf{\Gamma}_{0,\pi}^{1/2}(f) \mathbf{h}(f) \right\|_2}\end{aligned}\quad (7.29)$$

是两个向量夹角的余弦值，假设满足不失真约束，我们可以将DF写作：

$$\mathcal{D}[\mathbf{h}(f)] = \mathcal{D}_{\max}(f, \cos \theta_d) \cos^2 \left[\mathbf{\Gamma}_{0,\pi}^{-1/2}(f) \mathbf{d}(f, \cos \theta_d), \mathbf{\Gamma}_{0,\pi}^{1/2}(f) \mathbf{h}(f) \right]. \quad (7.30)$$

空间混叠

这里讨论阵列信号处理中遇到的空间混叠问题。它类似于以小于2倍最高频率的采样频率，对时域信号进行采样时，发生的时域混叠现象。

令 θ_1 和 θ_2 是2分不同的夹角， $\theta_1 \neq \theta_2$ 。空间混叠出现在，当 $d(f, \cos \theta_1) = d(f, \cos \theta_2)$ 时，即表示声源的方位不明确。令：

$$\begin{aligned}\cos \theta_1 &= \frac{c}{f\delta} + \cos \theta_2 \\ &= \frac{\lambda}{\delta} + \cos \theta_2,\end{aligned}\tag{7.31}$$

或者，等价于

$$\frac{\delta}{\lambda} = \frac{1}{\cos \theta_1 - \cos \theta_2}.\tag{7.32}$$

因为

$$e^{-j(m-1)2\pi f\tau_0 \cos \theta_1} = e^{-j(m-1)2\pi f\tau_0 \cos \theta_2}, \quad m = 1, 2, \dots, M.\tag{7.33}$$

$$\mathbf{d}(f, \cos \theta_1) = \mathbf{d}(f, \cos \theta_2),\tag{7.34}$$

意味着发生空间混叠。

因为 $|\cos \theta| \leq 1$ ，所以

$$|\cos \theta_1 - \cos \theta_2| \leq 2,\tag{7.35}$$

等价于

$$\frac{1}{|\cos \theta_1 - \cos \theta_2|} \geq \frac{1}{2}.\tag{7.36}$$

根据（7.32），我们要保证

$$\frac{\delta}{\lambda} < \frac{1}{2},\tag{7.37}$$

这就是经典的窄带混叠条件。

延迟相加

最著名的固定波束就是延迟相加（delay-and-sum, DS），它可以最大化 WNG:

$$\min_{\mathbf{h}(f)} \mathbf{h}^H(f) \mathbf{h}(f) \quad \text{subject to} \quad \mathbf{h}^H(f) \mathbf{d}(f, \cos \theta_d) = 1. \quad (7.38)$$

我们容易得到最优波束滤波器:

$$\begin{aligned} \mathbf{h}_{\text{DS}}(f, \cos \theta_d) &= \frac{\mathbf{d}(f, \cos \theta_d)}{\mathbf{d}^H(f, \cos \theta_d) \mathbf{d}(f, \cos \theta_d)} \\ &= \frac{\mathbf{d}(f, \cos \theta_d)}{M}. \end{aligned} \quad (7.39)$$

使用这个波束时，WNG 和 DF 分别为:

$$\mathcal{W}[\mathbf{h}_{\text{DS}}(f, \cos \theta_d)] = M = \mathcal{W}_{\text{max}} \quad (7.40)$$

和

$$\mathcal{D}[\mathbf{h}_{\text{DS}}(f, \cos \theta_d)] = \frac{M^2}{\mathbf{d}^H(f, \cos \theta_d) \mathbf{\Gamma}_{0,\pi}(f) \mathbf{d}(f, \cos \theta_d)}. \quad (7.41)$$

因此有

$$\mathbf{d}^H(f, \cos \theta_d) \mathbf{\Gamma}_{0,\pi}(f) \mathbf{d}(f, \cos \theta_d) \leq M \text{tr}[\mathbf{\Gamma}_{0,\pi}(f)] = M^2, \quad (7.42)$$

于是有 $DF \geq 1$ 。当 DS 波束最大化 WNG 时，它不会增大扩散场噪声。

我们有波束模式:

$$\begin{aligned} |\mathcal{B}[\mathbf{h}_{\text{DS}}(f, \cos \theta_d), \cos \theta]|^2 &= \frac{1}{M^2} |\mathbf{d}^H(f, \cos \theta) \mathbf{d}(f, \cos \theta_d)|^2 \\ &= \frac{1}{M^2} \left| \sum_{m=1}^M e^{j(m-1)2\pi f \tau_0 (\cos \theta - \cos \theta_d)} \right|^2 \\ &= \frac{1}{M^2} \left| \frac{1 - e^{jM2\pi f \tau_0 (\cos \theta - \cos \theta_d)}}{1 - e^{j2\pi f \tau_0 (\cos \theta - \cos \theta_d)}} \right|^2, \end{aligned} \quad (7.43)$$

DS 的波束模式与频率强相关。

另一个表示 (7.41) 的方式是

$$\begin{aligned} \mathcal{D}[\mathbf{h}_{\text{DS}}(f, \cos \theta_d)] &= \mathcal{D}_{\text{max}}(f, \cos \theta_d) \times \\ &\quad \cos^2 \left[\mathbf{\Gamma}_{0,\pi}^{1/2}(f) \mathbf{d}(f, \cos \theta_d), \mathbf{\Gamma}_{0,\pi}^{-1/2}(f) \mathbf{d}(f, \cos \theta_d) \right], \end{aligned} \quad (7.44)$$

其中

$$\begin{aligned} \cos \left[\mathbf{\Gamma}_{0,\pi}^{1/2}(f) \mathbf{d}(f, \cos \theta_d), \mathbf{\Gamma}_{0,\pi}^{-1/2}(f) \mathbf{d}(f, \cos \theta_d) \right] &= \\ &= \frac{\mathbf{d}^H(f, \cos \theta_d) \mathbf{d}(f, \cos \theta_d)}{\sqrt{\mathbf{d}^H(f, \cos \theta_d) \mathbf{\Gamma}_{0,\pi}(f) \mathbf{d}(f, \cos \theta_d)} \sqrt{\mathbf{d}^H(f, \cos \theta_d) \mathbf{\Gamma}_{0,\pi}^{-1}(f) \mathbf{d}(f, \cos \theta_d)}} \end{aligned} \quad (7.45)$$

它是向量 $\Gamma_{0,\pi}^{1/2}(f)d(f, \cos \theta)$ 和 $\Gamma_{0,\pi}^{-1/2}(f)d(f, \cos \theta)$, 令 $\sigma_1(f)$ 和 $\sigma_M(f)$ 是 $\Gamma_{0,\pi}(f)$ 最大和最小的特征值。使用 Kantorovich 不等式:

$$\cos^2 \left[\Gamma_{0,\pi}^{1/2}(f) \mathbf{d}(f, \cos \theta_d), \Gamma_{0,\pi}^{-1/2}(f) \mathbf{d}(f, \cos \theta_d) \right] \geq \frac{4\sigma_1(f)\sigma_M(f)}{[\sigma_1(f) + \sigma_M(f)]^2}, \quad (7.46)$$

我们化简得

$$\frac{4\sigma_1(f)\sigma_M(f)}{[\sigma_1(f) + \sigma_M(f)]^2} \leq \frac{\mathcal{D}[\mathbf{h}_{\text{DS}}(f, \cos \theta_d)]}{\mathcal{D}_{\max}(f, \cos \theta_d)} \leq 1. \quad (7.47)$$

例子: 考虑一个均匀线阵, M 个麦克风, 如图7.1。假定目标信号入射方向为 θ 。图7.2 使用了不同的麦克风数量 M , 绘制了 WNG 关于频率的变化图。图7.3 展示了不同数量的麦克风, 和几种指向角度以及间距。随着麦克风数量增加, WNG 和 DF 都在增加, 图7.4 - 7.6 展示了 $M=8$ 时, 几种情况的波束模式。主波束指向目标方向。随着频率的增加, 主波束的宽度在减小。当 δ/λ 增加, 我们可能观察到空间混叠的现象, 如图 7.6d

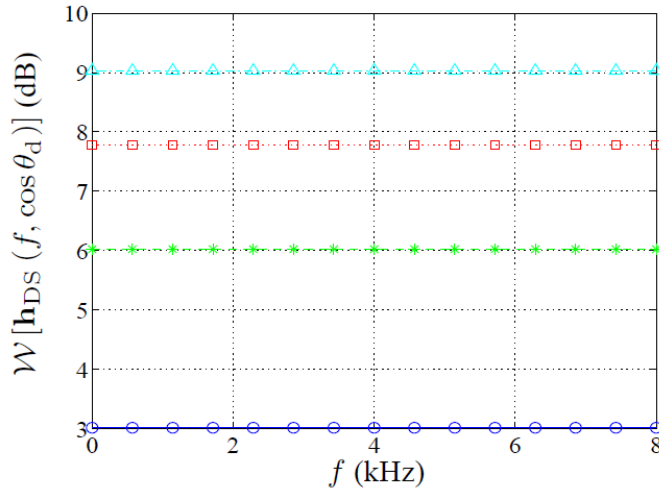


Figure 7.2 WNG of the DS beamformer as a function of frequency, for different numbers of sensors, M : $M = 2$ (solid line with circles), $M = 4$ (dashed line with asterisks), $M = 6$ (dotted line with squares), and $M = 8$ (dash-dot line with triangles).

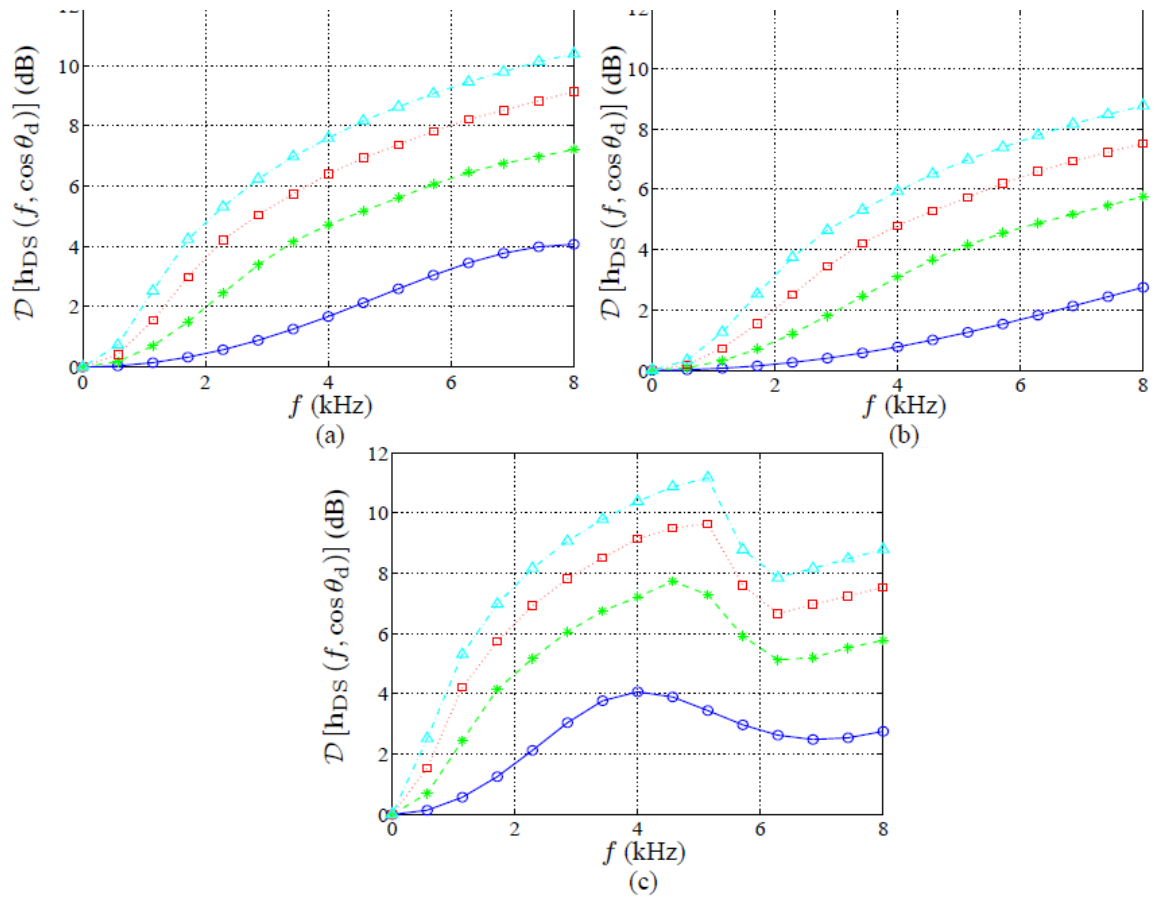


Figure 7.3 DF of the DS beamformer as a function of frequency, for different numbers of sensors, M , and several values of θ_d and δ : $M = 2$ (solid line with circles), $M = 4$ (dashed line with asterisks), $M = 6$ (dotted line with squares), and $M = 8$ (dash-dot line with triangles). (a) $\theta_d = 90^\circ$, $\delta = 3$ cm, (b) $\theta_d = 0^\circ$, $\delta = 1$ cm, and (c) $\theta_d = 0^\circ$, $\delta = 3$ cm.

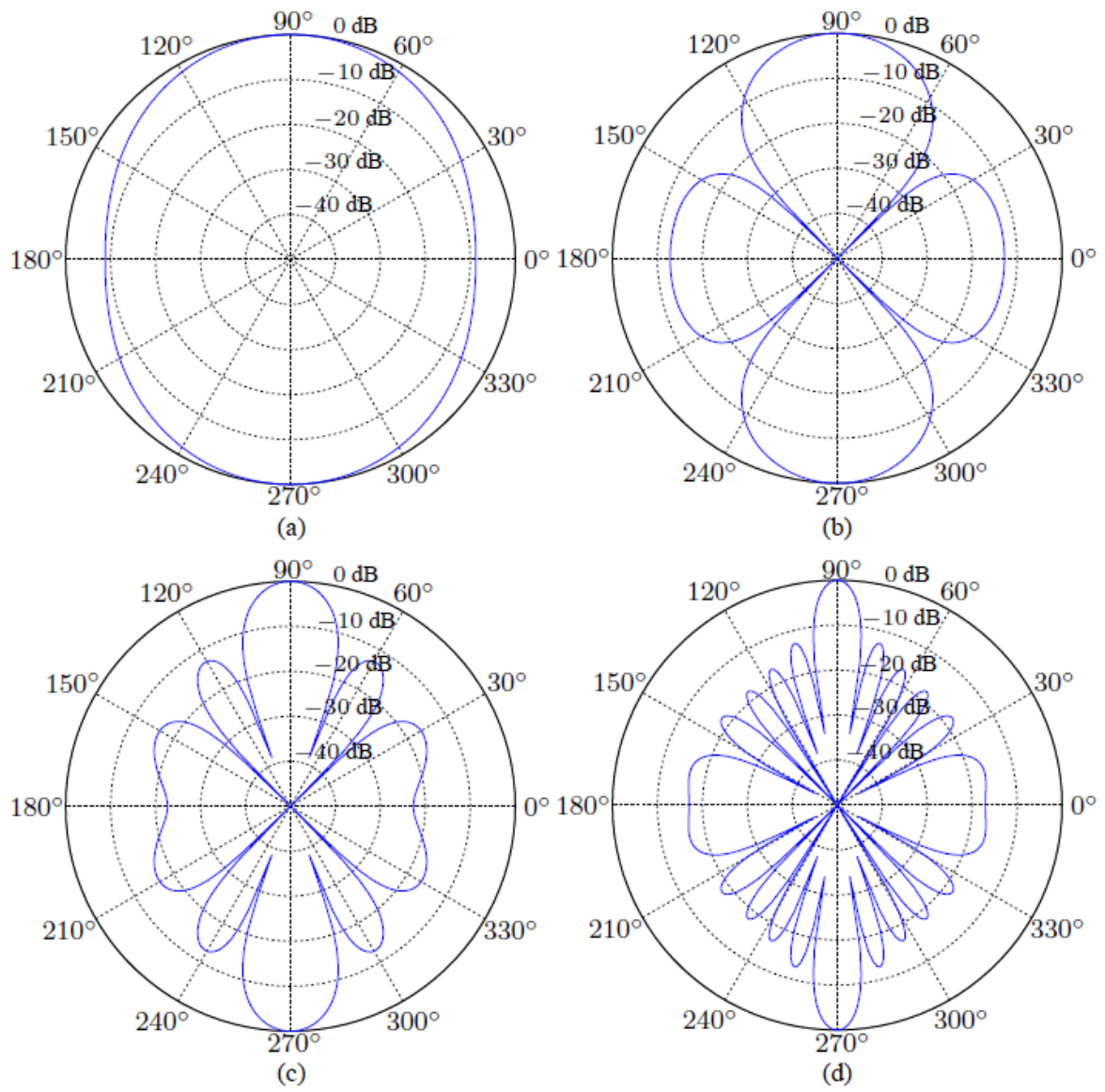


Figure 7.4 Beampatterns of the DS beamformer for several frequencies with $M = 8$, $\theta_d = 90^\circ$, and $\delta = 3$ cm: (a) $f = 1$ kHz, (b) $f = 2$ kHz, (c) $f = 4$ kHz, and (d) $f = 8$ kHz.

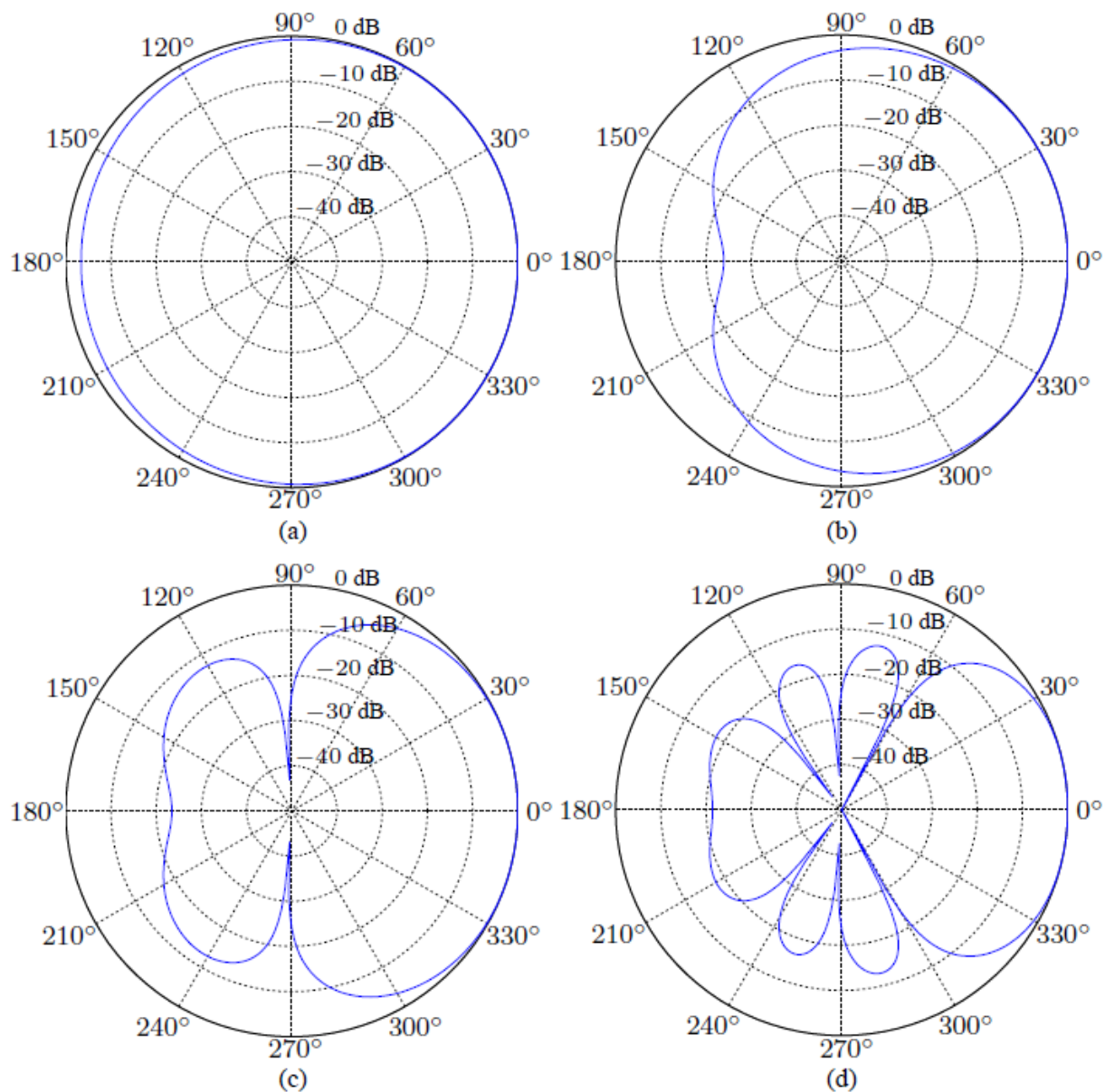


Figure 7.5 Beampatterns of the DS beamformer for several frequencies with $M = 8$, $\theta_d = 0^\circ$, and $\delta = 1$ cm: (a) $f = 1$ kHz, (b) $f = 2$ kHz, (c) $f = 4$ kHz, and (d) $f = 8$ kHz.

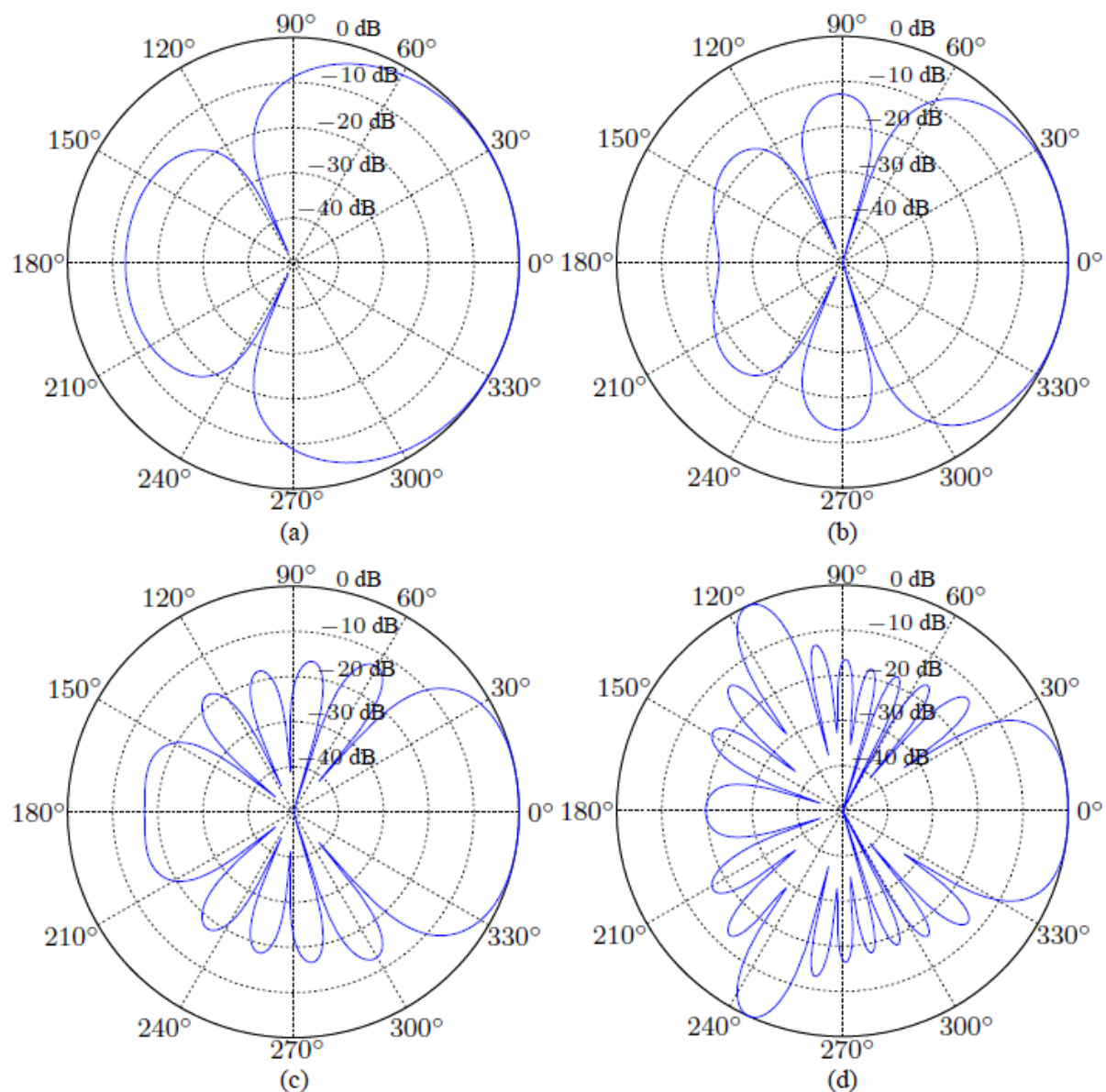


Figure 7.6 Beampatterns of the DS beamformer for several frequencies with $M = 8$, $\theta_d = 0^\circ$, and $\delta = 3$ cm: (a) $f = 1$ kHz, (b) $f = 2$ kHz, (c) $f = 4$ kHz, and (d) $f = 8$ kHz.